

FIABILITE DES METHODES SEMI-EMPIRIQUES POUR LA DETERMINATION DES PARAMETRES GEOMETRIQUES DES COMPOSES ORGANIQUES β -HIMACHALENE HALOGENES

[RELIABILITY OF SEMI-EMPIRICAL METHODS FOR THE DETERMINATION OF GEOMETRIC PARAMETERS OF ORGANIC COMPOUNDS β -HIMACHALENE HALGOGENATED]

Mohammed EL IDRISSE¹, Abdellah ZEROUAL¹, Ahmed BENHARREF², and Abdeslam ELHAJBI¹

¹Laboratoire de Chimie Physique, Département de Chimie, Faculté des Sciences Université Chouaib Doukkali, BP 20, 24000 EL
Jadida, Maroc

²Laboratoire de Chimie Biomoléculaire, des Substances Naturelles et Réactivité, URAC 16, Faculté des Sciences Semlalia,
Université Cadi Ayyad, BP. 2390, 40000 Marrakech, Maroc

Copyright © 2017 ISSR Journals. This is an open access article distributed under the **Creative Commons Attribution License**, which permits unrestricted use, distribution, and reproduction in any medium, provided the original work is properly cited.

ABSTRACT: Single-crystal X-ray diffraction analysis is the most direct and definitive technique for determining (or confirming) the geometric structure of chemical compound. In this paper, we describe the capacity of semi-empirical methods such as AM1, PM3, PM6 and NODCs for determining interatomic distances and bond angles for three compounds P₁ ((1S, 3R,8R)-2,2-dichloro-3,7,7,10-tetramethyl-tricyclo [6,4,0,0^{1,3}] dodec-9-ene), P₂ (1S,3R,8R,9S,11R)-2,2,10,10-tetrachloro-3,7,7,11-tetramethyltetracyclo [6,5,0,01.2,09.116] tridecane) and P₃ (1S,3R,8R,9S,11R)-2,2,10,10-tetrabromo-3,7,7,11-tetramethyltetracyclo [6,5,0,01.2,09.116] tridecane) including experimental data interatomic distances and bond angles are available. The results obtained show a good agreement with experimental reference values, a few exceptions, for semi-empirical methods AM1 and PM6 appear more reliable than PM3 and NODC.

KEYWORDS: Halogenated organic compounds, geometrical parameters, X-ray diffraction, semi-empirical methods.

RESUME: Les principales méthodes qui permettent de déterminer la géométrie d'un produit chimique sont les méthodes de la diffraction des rayons X et les méthodes spectroscopiques. Dans ce travail, nous avons testé capacité des méthodes semi-empiriques AM1, PM3, PM6 et CNDO à déterminer les distances interatomiques et les angles de liaisons des composés chimiques P₁ ((1S, 3R,8R)-2,2-dichloro-3,7,7,10-tétraméthyl-tricyclo[6,4,0,0^{1,3}]dodec-9-ène), P₂ (1S,3R,8R,9S,11R)-2,2,10,10-tétrachloro-3,7,7,11-tétraméthyltetracyclo[6,5,0,01.2,0^{9,11}6]tridecane) et P₃ (1S,3R,8R,9S,11R)-2,2,10,10-tétrabromo-3,7,7,11-tétraméthyltetracyclo[6,5,0,01.2,0^{9,11}6]tridecane), dont les données expérimentales des distances interatomiques et les angles de liaisons sont disponibles. Les résultats obtenus par les méthodes semi-empiriques sont en bon accord avec les valeurs expérimentales. A quelques exception près, les méthodes AM1 et PM6 apparaissent plus fiables que les méthodes PM3 et CNDO.

MOTS-CLEFS: Composés organiques halogénés, Paramètres géométriques, Diffraction des Rayons X, les méthodes semi-empiriques.

1 INTRODUCTION

Le β -Himachalène est un produit secquiterpénique isolé d'huile essentielle de Cèdre de l'Atlas [1]. Sa structure contient deux doubles liaisons, l'une en position 2,3- tri-substitué et l'autre en position 6,7 tétra-substitué. Le traitement du β -Himachalène par les dihalo-carbènes (dichlorocarbène et le dibromocarbène) générés in situ de la réaction catalysée par transfert de phase liquide-solide [2] conduit aux produits P_1 , P_2 et P_3 (Figure 1). Les structures de ces produits sont déterminées à partir des données spectrales RMN ^{13}C et ^1H [3] la stéréochimie a été confirmée par la diffraction des rayons X [4]. Une étude théorique montre que ces réactions sont hautement régio- et stéréo- spécifiques [5,6].

Les méthodes quantiques semi-empiriques et ab initio permettent de déterminer les propriétés chimico-physiques des atomes, des ions, des molécules, des radicaux, des clusters... etc.

Dans ce travail nous nous sommes intéressés à utiliser les méthodes semi-empiriques AM1, PM3, PM6 et CNDO pour reproduire les valeurs des distances interatomiques et les angles de liaisons des produits P_1 ((1*S*, 3*R*,8*R*)-2,2-dichloro-3,7,7,10-tétraméthyl-tricyclo [6,4,0,0^{1,3}] dodec-9-ène), P_2 (1*S*,3*R*,8*R*,9*S*,11*R*)-2,2,10,10-tétrachloro-3,7,7,11-tétraméthyltetracyclo [6,5,0,01.2,0^{9,11}]6] tridecane) et P_3 (1*S*,3*R*,8*R*,9*S*,11*R*)-2,2,10,10-tétrabromo-3,7,7,11-tétraméthyltetracyclo [6,5,0,01.2,0^{9,11}]6] tridecane).

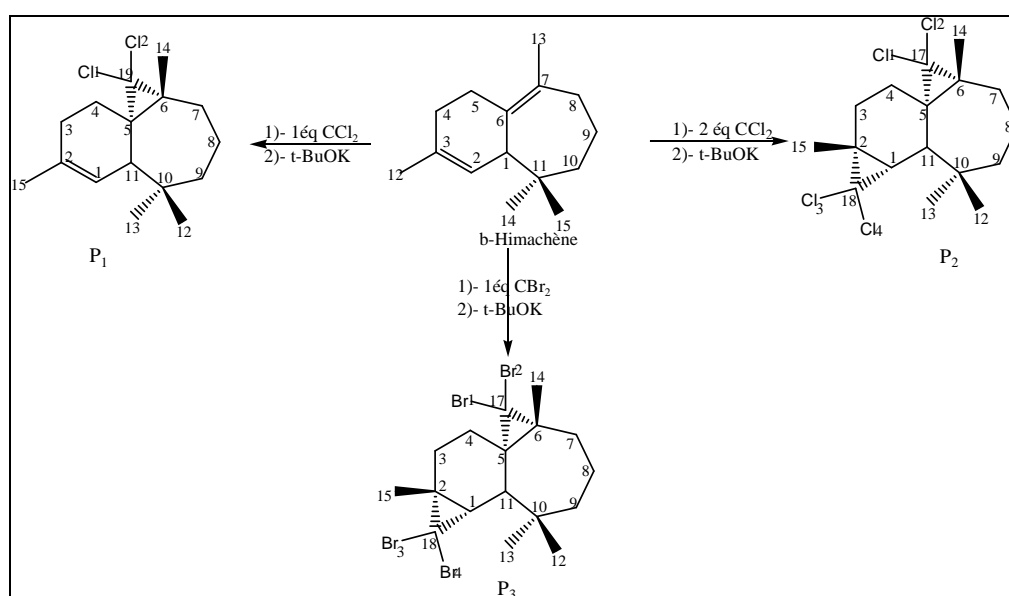


Fig. 1. Réaction de β -Himachalène

Les distances de liaisons et les angles de liaisons des trois produits calculés par les méthodes semi-empiriques sont comparés avec les distances et les angles de liaisons obtenus par la diffraction des rayons X [4].

2 METHODE DE CALCUL

Tous les calculs ont été effectués à l'aide des méthodes semi-empiriques CNDO, AM1, PM6 et PM3. Implantés dans le programme gaussien [7]. Après l'optimisation de la géométrie de chaque système moléculaire, nous avons déterminé les distances inter atomiques et les angles de liaisons des produits organiques halogénés P_1 , P_2 et P_3 .

3 RESULTATS ET DISCUSSION

3.1 DISTANCES INTERATOMIQUES DES P_1 , P_2 ET P_3

Les distances interatomiques des produits P_1 , P_2 et P_3 calculés par les méthodes semi-empiriques (AM1, PM3, PM6 et CNDO) et mesurés par la diffraction des rayons X sont rassemblées respectivement dans les tableaux 1a, 1b et 1c.

Tableau 1a. Distances interatomiques du P_1 obtenues par les méthodes semi-empirique et D.R.X

Les longueurs de liaisons	Méthode semi-empiriques				
	AM1	PM6	PM3	CNDO	<u>D.R.X</u>
R(5,6)	1.5239	1.5497	1.5318	1.5319	1.530
R(5,11)	1.519	1.534	1.5264	1.5119	1.525
R(5,4)	1.5082	1.5227	1.5194	1.4851	1.518
R(5,19)	1.5308	1.5378	1.5207	1.4887	1.499
R(6,7)	1.5069	1.5181	1.5142	1.4964	1.506
R(6,14)	1.4998	1.5124	1.5093	1.473	1.507
R(6,19)	1.5201	1.5296	1.5086	1.48	1.510
R(10,11)	1.5484	1.5731	1.5594	1.5191	1.575
R(1,11)	1.4941	1.5097	1.4974	1.474	1.500
R(10,9)	1.5342	1.5555	1.5442	1.5124	1.551
R(10,12)	1.5185	1.5343	1.525	1.483	1.552
R(10,13)	1.5335	1.5492	1.5353	1.4827	1.489
R(7,8)	1.5132	1.5331	1.5196	1.4882	1.521
R(8,9)	1.5106	1.5302	1.519	1.4941	1.511
R(1,2)	1.34	1.3401	1.3372	1.3467	1.318
R(3,4)	1.5162	1.5325	1.5221	1.4747	1.511
R(2,3)	1.4863	1.5038	1.488	1.466	1.486
R(2,15)	1.4826	1.4978	1.4841	1.4563	1.493
R(19, Cl1)	1.7379	1.7407	1.7299	1.6958	1.762
R(19, Cl2)	1.7351	1.7317	1.7297	2.2776	1.756

 Tableau 1b. Distances interatomiques du P_2 obtenues par les méthodes semi-empiriques et D.R.X

Les longueurs de liaison	Méthode semi-empiriques				
	AM1	PM6	PM3	CNDO	<u>D.R.X</u>
R(5,6)	1.5313	1.5573	1.5372	1.5205	1.555
R(5,11)	1.524	1.5381	1.5238	1.5264	1.542
R(5,4)	1.5124	1.5261	1.5216	1.4657	1.533
R(5,17)	1.5337	1.5407	1.5241	1.7385	1.467
R(6,7)	1.5047	1.5165	1.5153	1.4784	1.509
R(6,14)	1.5028	1.5144	1.5096	1.5173	1.531
R(6,17)	1.5163	1.5255	1.5056	1.5309	1.524
R(10,11)	1.5569	1.5787	1.5694	1.5041	1.568
R(1,11)	1.5152	1.5304	1.5128	1.5294	1.515
R(10,9)	1.5349	1.5525	1.5448	1.4934	1.505
R(10,12)	1.5186	1.5342	1.5271	1.4809	1.540
R(10,13)	1.5399	1.553	1.5382	1.4848	1.532
R(7,8)	1.5098	1.5292	1.517	1.4747	1.544
R(8,9)	1.5079	1.5273	1.5184	1.4767	1.509
R(1,2)	1.5152	1.5407	1.5062	1.5115	1.522
R(3,4)	1.5158	1.5324	1.523	1.4808	1.506
R(2,3)	1.5002	1.5147	1.5073	1.4857	1.536
R(2,18)	1.5234	1.5331	1.5095	1.4861	1.522
R(17, Cl1)	1.7364	1.731	1.7291	3.1295	1.752
R(17, Cl2)	1.7371	1.7419	1.7306	1.8584	1.766
R(18, Cl3)	1.7183	1.7186	1.7404	1.7023	1.748
R(18, Cl4)	1.7418	1.7441	1.7087	1.8125	1.777

Tableau 1c. Distances interatomiques du P_3 obtenues par les méthodes semi-empiriques et D.R.X

Les longueurs de liaisons	Méthode semi-empiriques			
	AM1	PM6	PM3	D.R.X
Br3 C18	1.891	1.9066	1.8624	1.899
Br2 C17	1.9117	1.9319	1.8838	1.912
Br1 C17	1.916	1.93	1.8738	1.927
Br4 C18	1.915	1.9328	1.871	1.945
C2 C1	1.5083	1.5346	1.5145	1.51
C2 C3	1.5006	1.5149	1.507	1.51
C2 C15	1.4974	1.5092	1.5051	1.51
C2 C18	1.5243	1.5378	1.4854	1.51
C6 C5	1.526	1.5559	1.5451	1.560
C6 C16	1.5037	1.5163	1.5072	1.52
C6 C17	1.5161	1.5279	1.4777	1.52
C6 C7	1.5052	1.5178	1.5159	1.51
C5 C4	1.5132	1.5287	1.5206	1.53
C5 C11	1.5253	1.5396	1.5282	1.540
C1 C11	1.5163	1.5327	1.5136	1.540
C1 C18	1.518	1.5208	1.4783	1.48
C4 C3	1.5149	1.53	1.5235	1.54
C11 C10	1.5579	1.5796	1.5638	1.57
C9 C10	1.5346	1.5513	1.5455	1.54
C9 C8	1.5077	1.5271	1.519	1.52
C13 C10	1.5186	1.5345	1.5266	1.53
C7 C8	1.5092	1.5286	1.5189	1.53
C10 C12	1.5407	1.5538	1.537	1.52

D'après ces résultats nous constatons que l'écart entre la distance de la double liaison du produit 1 calculée est d'ordre $2,2 \cdot 10^{-2} \text{ \AA}$, mais l'écart entre les liaisons des carbone-chlore est d'ordre: 0.02, 0.03, 0.24, 0.032 et 0.06, respectivement PM6, AM1, PM3 et CNDO.

Pour le produit 2 l'écart entre la longueur des liaisons carbone- chlore calculé et mesuré est d'ordre 0.035, 0.032, 0,068 et 0,96, AM1, PM6, PM3 et CNDO respectivement. D'autre part l'écart entre les longueurs de liaisons brome-carbone trouvé et les longueurs expérimentales des rayons X est d'ordre 0.01, 0.003 et 0.03, AM1, PM6 et PM3.

Nous avons représenté les distances interatomiques calculées par les méthodes semi-empiriques en fonction des distances interatomiques expérimentales dans la figure 1. Le résultat obtenu est une droite de la forme $Y = a \cdot X + b$, les paramètres a, b et R^2 (facteur de correction) sont rassemblés dans les tableaux (2a, 2b, 2c).

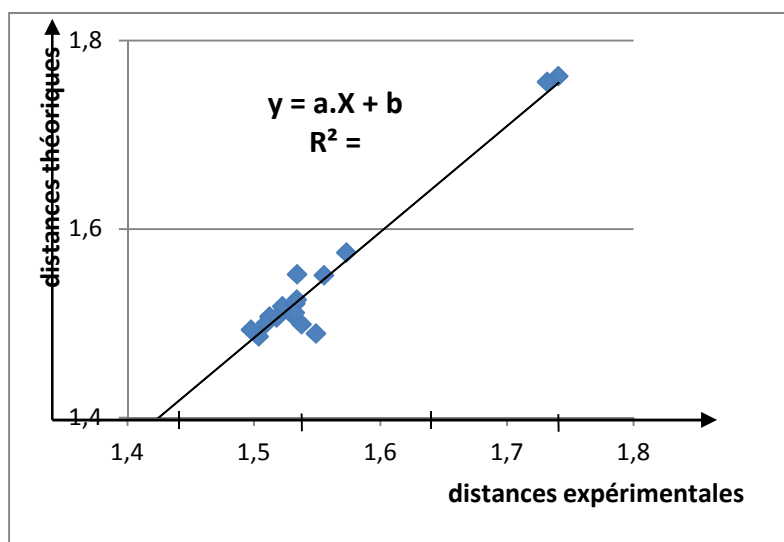


Fig. 1. Les distances interatomiques théoriques en fonction des distances expérimentales

Tableau 2a. Les paramètres a , b et R^2 de l'équation du produit 1

Coefficients	a	b	R^2
Méthode			
AM 1	1,095	- 0,142	0,964
PM 6	1,123	-0,200	0,974
PM 3	1,125	-0,192	0,967
CNDO	0,398	+0,92	0,64

Tableau 2b. Les paramètres a , b et R^2 de l'équation du produit 2

Coefficients	a	b	R^2
Méthode			
PM 6	0,984	0,031	0,992
PM 3	0,897	0,148	0,99
AM 1	0,979	0,023	0,989

Tableau 2c. Les paramètres a , b et R^2 de l'équation du produit 3

Coefficients	a	b	R^2
Méthode			
AM 1	0,869	0,194	0,942
PM 6	0,835	0,294	0,945
PM 3	0,835	0,249	0,937
CNDO	2,369	-2,094	0,401

La comparaison de distances interatomiques expérimentales et théoriques montre que la méthode PM6 est la plus fiable car elle possède un facteur de correction R^2 le plus grand.

3.2 ANGLES DE LIAISONS DES PRODUITS P_1 , P_2 ET P_3

Les angles de liaisons des produits P_1 , P_2 et P_3 calculés par les méthodes semi-empiriques et mesurés par la diffraction des rayons X sont regroupés dans les tableaux (3a, 3b, 3c).

Tableau 3a. Les angles de liaison du P_1 obtenus par les méthodes semi-empiriques et mesurés par la diffraction des rayons X

Les angles	Méthode semi-empiriques				
	AM 1	PM 6	PM 3	CNDO	D.R.X
C10 C9 C8	116.7219	116.191	114.9059	121.6046	117.3
C9 C10 C13	105.7769	105.8229	106.7878	100.636	110.7
C9 C10 C12	-----	-----	-----	-----	103.0
C9 C10 C11	111.015	110.4795	110.2946	126.5382	111.9
C13 C10 C12	108.4056	107.9005	108.1042	111.1698	108.7
C13 C10 C11	108.7332	109.2727	108.525	111.7274	109.8
C12 C10 C11	113.8641	112.9918	114.1911	100.6714	112.4
C2 C1 C11	125.222	125.3606	122.5061	128.5267	125.6
C1 C2 C15	122.2955	122.136	122.6677	124.2445	122.2
C1 C2 C3	122.3916	122.686	120.3029	117.3928	121.4
C15 C2 C3	115.2946	115.1591	117.0136	118.3626	116.4
C10 C11 C1	111.5799	112.1869	112.6344	104.7436	114.3
C10 C11 C5	116.1142	115.1284	116.1259	122.1618	114.8
C1 C11 C5	110.3264	109.8447	108.9995	112.9996	109.4
C5 C4 C3	111.7394	110.4105	116.6202	117.4391	109.8
C11 C5 C4	113.0321	113.0231	115.6701	113.2919	111.9
C11 C5 C19	118.6393	118.5474	117.6228	118.1935	118.2
C11 C5 C6	119.7447	120.6178	119.4341	128.4174	118.4
C4 C5 C19	116.321	115.9046	116.6097	116.3148	117.1
C4 C5 C6	119.4599	119.165	116.5655	111.4014	122.2
C19 C5 C6	-----	-----	-----	-----	59.8
Cl1 C19 Cl2	108.8958	108.4954	107.5308	49.754	107.6
Cl1 C19 C5	120.7007	121.6028	120.9468	64.9312	121.7
Cl1 C19 C6	119.506	118.1562	120.4865	63.169	121.3
Cl2 C19 C5	120.8086	121.787	121.1142	106.4727	120.3
Cl2 C19 C6	119.962	119.5323	120.0754	105.951	118.9
C5 C19 C6	-----	-----	-----	-----	61.1
C5 C6 C19	-----	-----	-----	-----	59.1
C5 C6 C7	119.7031	119.6084	120.3227	128.094	116.0
C5 C6 C14	119.378	119.5968	117.7221	117.6298	121.2
C19 C6 C7	118.0653	119.2405	118.5756	127.4768	118.3
C19 C6 C14	119.7465	116.7999	119.3131	112.0671	119.4
C7 C6 C14	111.2119	112.3439	111.9559	106.0878	112.9
C6 C7 C8	112.6219	111.3268	111.6963	120.1143	111.6
C9 C8 C7	112.9703	112.8995	112.9386	128.8405	115.5
C2 C3 C4	112.5733	111.575	113.6227	111.8778	114.8

Tableau 3b. Les angles de liaison du P₂ obtenus par les méthodes semi-empiriques et mesurés par la diffraction des rayons X

Les angles	Méthode semi-empiriques				
	AM1	PM6	PM3	CNDO	D.R.X
C1 C2 C3	117.4397	117.2498	116.5025	117.943	117.8
C1 C2 C15	118.7103	118.8659	119.0907	119.7377	118.2
C1 C2 C18	119.0774	-----	-----		58.8
C3 C2 C15	112.7743	113.7599	112.0851	112.9245	113.4
C3 C2 C18	119.0774	119.261	121.6216	123.689	119.1
C15 C2 C18	119.2648	117.993	118.8834	113.4252	119.0
C5 C6 C16	118.1623	119.4212	118.9421	120.3345	117.8
C5 C6 C17	-----	-----	-----		118.3
C5 C6 C7	121.7723	122.1663	120.2057	122.162	118.2
C16 C6 C17	-----	-----	-----		57.7
C16 C6 C7	110.6065	110.2435	112.1405	100.6257	116.1
C17 C6 C7	117.3414	119.083	118.3133	122.0635	114.8
C6 C5 C4	115.6174	115.6207	118.2115	136.233	113.4
C6 C5 C11	122.9003	123.3984	117.7173	100.5576	116.0
C4 C5 C11	112.8125	112.5339	116.2494	123.1904	106.2
C2 C1 C11	124.8482	124.6444	119.7206	116.0981	120.9
C2 C1 C18	-----	-----	-----		60.5
C11 C1 C18	125.3325	123.9801	122.6	129.1718	122.9
C5 C4 C3	113.3727	112.8314	117.7897	113.0661	114.5
C2 C3 C4	110.3517	109.4211	116.6658	120.9772	116.0
C5 C11 C1	111.6251	111.6493	110.9342	114.3474	112.4
C5 C11 C10	115.8271	115.5351	114.8385	122.059	119.1
C1 C11 C10	109.3776	108.9415	112.6648	104.7697	112.3
C10 C9 C8	117.9996	116.659	114.9437	118.7384	115.6
C6 C16 C17	-----	-----	-----		61.0
C6 C17 C16	-----	-----	-----		61.2
C6 C7 C8	111.666	111.1795	112.2732	114.9993	114.7
C11 C10 C9	113.1201	112.8157	109.172	113.7979	114.3
C11 C10 C13	109.6845	109.329	109.9831	112.1352	109.4
C11 C10 C12	111.9766	111.362	114.3933	111.4518	107.6
C9 C10 C13	103.6888	103.8315	106.9369	112.1352	110.5
C9 C10 C12	110.1481	110.6458	108.7225	107.9175	107.4
C13 C10 C12	107.7739	108.5071	107.3612	106.5461	107.2
C2 C18 C1	-----	-----	-----		60.7
C9 C8 C7	111.5017	111.0513	113.3766	114.5303	114.2

Tableau 3c. Les angles de liaison du P₃ obtenus par les méthodes semi-empiriques et mesurés par la diffraction des rayons X

Les angles	Méthode semi-empiriques			
	AM 1	PM 6	PM 3	D.R.X
C1 C2 C3	117.4397	117.3526	116.6135	116.4
C1 C2 C15	118.7103	118.5299	119.1602	119.5
C1 C2 C18	119.0774	-----	-----	119.1
C3 C2 C15	112.7743	114.2029	112.1247	113.9
C3 C2 C18	119.0774	119.4837	120.2261	119.1
C15 C2 C18	119.2648	117.3912	119.5442	118.6
C5 C6 C16	118.1623	119.181	117.9617	118.3
C5 C6 C17	-----	-----	-----	57.4
C5 C6 C7	121.7723	121.6282	121.1373	118.9
C16 C6 C17	-----	-----	-----	61.5
C16 C6 C7	110.6065	111.3712	111.7889	115.5
C17 C6 C7	117.3414	118.6565	117.5835	114.4
C6 C5 C4	115.6174	117.1519	117.0954	113.4
C6 C5 C11	122.9003	122.1783	118.665	116.5
C4 C5 C11	112.8125	113.0789	116.0635	106.4
C2 C1 C11	124.8482	124.2081	119.9509	122.0
C2 C1 C18	-----	-----	-----	61.4
C11 C1 C18	125.3325	122.699	126.4478	123.6
C5 C4 C3	113.3727	111.2467	118.8126	114.3
C2 C3 C4	110.3517	109.302	116.8656	116.2
C5 C11 C1	111.6251	111.245	111.6897	111.9
C5 C11 C10	115.8271	115.1812	114.6132	118.5
C1 C11 C10	109.3776	109.8148	111.261	112.8
C10 C9 C8	117.9996	116.6798	114.965	117.1
C6 C16 C17	-----	-----	-----	
C17 C6C16	-----	-----	-----	
C6 C7 C8	111.666	111.2717	112.2093	114.5
C11 C10 C9	113.1201	112.374	109.842	115.4
C11 C10 C13	109.6845	109.5983	110.223	108.8
C11 C10 C12	111.9766	111.4693	114.2029	106.5
C9 C10 C13	103.6888	103.9691	106.5006	109.6
C9 C10 C12	110.1481	110.637	108.569	108.5
C13 C10 C12	107.7739	108.4617	107.1874	107.8
C2 C18 C1	-----	-----	-----	61.4
C9 C8 C7	111.5017	111.423	112.7011	115.4

D'après ces résultats nous constatons que:

- Les angles de liaisons des produits P₁, P₂ et P₃ qui sont supérieurs à 120 calculés par les méthodes semi-empiriques et obtenus par la diffraction des rayons X possèdent un écart moyen entre les valeurs des angles d'ordre 0.9°, 1°, 1.2° et 26°, AM1, PM6, PM3 et CNDO respectivement.
- Les angles de liaisons des produits P₁, P₂ et P₃ qui sont inférieurs à 120 calculés par les méthodes semi-empiriques et obtenus par la diffraction des rayons X possèdent un écart moyen entre les valeurs des angles d'ordre 2.2, 1.07, 1.16 et 1.07 au CNDO, PM3, PM6 et AM1 respectivement.

Nous avons représentés dans la figure 2 les valeurs des angles calculés par les méthodes semi-empiriques en fonction des angles expérimentales, le résultat obtenu donne une droite de la forme $Y = a.X + b$.

Les paramètres a, b et R² de l'équation sont rassemblés dans les tableaux (4a, 4b, 4c). D'après ces tableaux on remarque que la méthode AM1 qui possède un facteur R² le plus grand, alors la méthode AM1 la plus précise pour calculer les angles de liaisons.

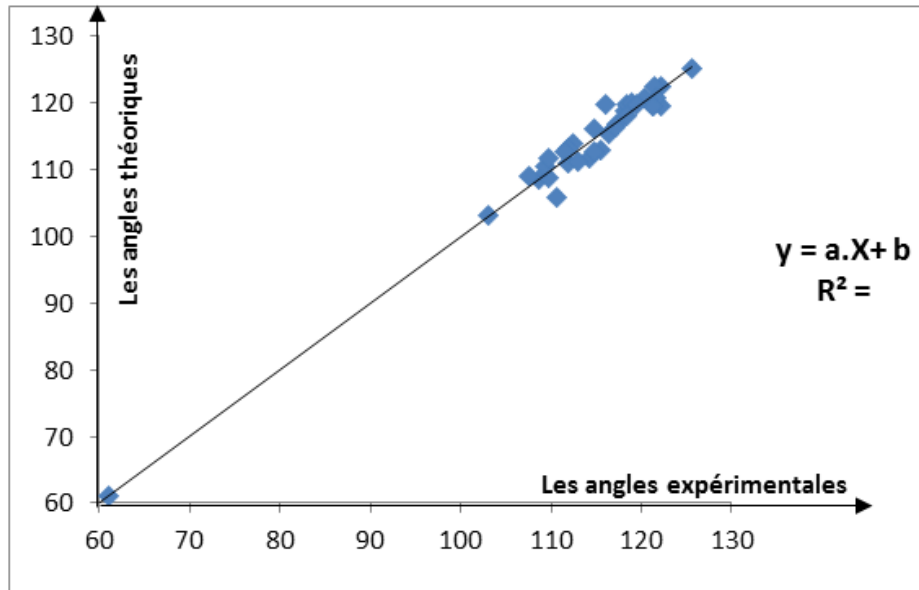


Fig. 2. Les angles théoriques en fonction des angles expérimentales

Tableau 4a. Les paramètres de l'équation et le facteur de correction R² du produit 1.

Méthode	Coefficients	a	b	R ²
AM 1		0,992	0,576	0,99
PM 6		0,99	0,57	0,989
PM 3		0,99	0,57	0,989
CNDO		0,873	9,55	0,394

Tableau 4b. Les paramètres de l'équation et le facteur de correction R² du produit 2

Méthode	Coefficients	a	b	R ²
AM 1		0,996	0,392	0,973
PM 6		0,989	1,037	0,971
PM 3		0,993	0,968	0,972
CNDO		0,998	0,888	0,87

Tableau 4c. Les paramètres de l'équation et le facteur de correction R² du produit 3

Méthode	Coefficients	a	b	R ²
PM 6		0,998	0,237	0,977
PM 3		0,998	0,511	0,981
AM 1		0,987	0,763	0,982

4 ESTIMATION D'ERREUR

L'estimation d'erreur des distances et les angles pour les différents produits calculés par la relation :

$$\% \text{ Erreur} = \frac{\text{grandeur Exp} - \text{grandeur Cal}}{\text{grandeur Exp}} \times 100$$

Les valeurs d'estimation d'erreur des distances et les angles pour les différents produits P₁, P₂ et P₃, sont reportées dans les tableaux 4a, 4b, 4c, 5a, 5b et 5c.

Tableau 4a. Le pourcentage d'erreur des longueurs de liaison du P_1

Les liaisons	Méthodes Semi-empirique			
	AM1	PM6	PM3	CNDO
R(5,6)	0,39%	1.24%	0,11%	0,06%
R(5,11)	0,39%	0,59%	0,09%	0,85%
R(5,4)	0,59%	0,26%	0,092%	2,09%
R (5,19)	2,06%	2,5%	1,4%	0,66%
R(6,7)	0,05%	0,79%	0,53%	0,59%
R(6,14)	0,46%	0,33%	0,15%	2,1%
R(6,19)	0,66%	1,25%	0,09%	1,98%
R(10,11)	1,65%	0,06%	0,95%	3,49%
R(1,11)	0,33%	0,6%	0,16%	1,73%
R(10,9)	1,03%	0,25%	0,43%	2,45%
R(10,12)	2,12%	1,09%	1,73%	4,44%
R(10,13)	2,95%	4,03%	3,76%	0,4%
R(7,8)	0,46%	0,78%	0,08%	2,1%
R(8,9)	0,019%	1,25%	0,52%	1,05%
R(1,2)	1,66%	1,66%	1,44%	2,12%
R(3,4)	0,33%	1,38%	0,72%	2,4%
R(2,3)	0,013%	1,14%	0,13%	1,34%
R(2,15)	0,66%	0,26%	0,59%	2,41%
R(19, C11)	1,36%	1,19%	1,82%	3,74%
R (19,C12)	1,13%	1,36%	1,49%	29,61%
La moyenne du pourcentage d'erreur	0,9156%	1,6855%	0,8141%	3,2805%

Tableau 4b. Le pourcentage d'erreur des longueurs de liaison du P_2

Les liaisons	Méthodes Semi-empirique			
	AM1	PM6	PM3	CNDO
R(5,6)	1,47%	0,12%	1,09%	2,18%
R(5,11)	1,16%	0,19%	1,16%	0,97%
R(5,4)	1,30%	0,39%	0,71%	4,37%
R (5,19)	4,49%	4,97%	3,88%	18,40%
R(6,7)	0,26%	0,46%	0,39%	1,98%
R(6,14)	1,82%	1,04%	1,37%	0,84%
R(6,19)	0,45%	0,06%	1,18%	0,39%
R(10,11)	0,70%	0,63%	0,06%	4,01%
R(1,11)	0,01%	0,99%	0,13%	0,92%
R(10,9)	1,92%	3,12%	2,59%	0,73%
R(10,12)	1,36%	0,32%	0,77%	3,83%
R(10,13)	0,45%	1,30%	0,39%	3,06%
R(7,8)	2,20%	0,90%	1,74%	4,46%
R(8,9)	0,06%	1,19%	0,59%	2,12%
R(1,2)	0,39%	1,18%	0,98%	0,65%
R(3,4)	0,59%	1,72%	1,06%	1,66%
R(2,3)	2,27%	1,36%	1,82%	3,25%
R(2,15)	0,06%	0,72%	0,78%	2,29%
R(19, C11)	0,85%	1,14%	1,25%	78,19%
R (19,C12)	1,58%	1,35%	1,98%	5,20%
La moyenne du pourcentage d'erreur	1,23365%	1,21387%	1,28369%	6,55221%

Tableau 4c. Le pourcentage d'erreur des longueurs de liaison du P_3

Les liaisons	Méthodes Semi-empirique		
	AM1	PM6	PM3
R(5,6)	0,421 %	0,368 %	1,927 %
R(5,11)	0,015 %	1,040 %	1,474 %
R(5,4)	0,570 %	0,150 %	2,750 %
R (5,19)	1,542 %	0,627 %	3,804 %
R(6,7)	0,112 %	1,629 %	0,291 %
R(6,14)	0,622 %	0,317 %	0,198 %
R(6,19)	0,794 %	0,052 %	0,317 %
R(10,11)	0,794 %	1,841 %	1,629 %
R(1,11)	0,897 %	0,256 %	0,955 %
R(10,9)	2,236 %	0,243 %	0,835 %
R(10,12)	1,072 %	0,519 %	2,782 %
R(10,13)	0,311 %	0,516 %	0,390 %
R(7,8)	1,045 %	0,084 %	0,614 %
R(8,9)	0,909 %	0,019 %	0,766 %
R(1,2)	1,538 %	0,474 %	1,714 %
R(3,4)	2,567 %	2,702 %	0,114 %
R(2,3)	1,623 %	0,649 %	1,071 %
R(2,15)	0,770 %	0,605 %	0,388 %
R(19, Br1)	0,324 %	0,714 %	0,357 %
R (19,Br2)	0,809 %	0,460 %	0,065 %
La moyenne du pourcentage d'erreur	0,9717%	0,6902%	1,0656%

Tableau 5a. Le pourcentage d'erreur des angles de liaison P_1

Les angles	Méthodes Semi-empirique			
	AM1	PM6	PM3	CNDO
C10 C9 C8	0,05%	0,944%3	2,04%	3,66 %
C9 C10 C13	4,46%	4,40%	3,53%	9,09%
C9 C10 C12	0%	0%	0%	0%
C9 C10 C11	0,7%9	1,269%	1,43%	13,08%
C13 C10 C12	0,27%	0,735%	0,54%	2,27%
C13 C10 C11	0,98%	0,479%	1,16%	1,75%
C12 C10 C11	1,3%	0,525%	1,59%	10,43%
C2 C1 C11	0,3%	0,19%	2,46%	2,32%
C1 C2 C15	0,78%	0,052%	0,38%	1,67%
C1 C2 C3	0,81%	1,059%	0,90%	3,30%
C15 C2 C3	0,94%	1,065%	0,52%	1,68%
C10 C11 C1	2,37%	1,848%	1,45%	8,36%
C10 C11 C5	1,14%	0,285%	1,14%	6,41%
C1 C11 C5	0,84%	0,406%	0,36%	3,28%
C5 C4 C3	1,76%	0,556%	6,21%	6,95%
C11 C5 C4	1,01%	1,003%	3,36%	1,24%
C11 C5 C19	0,37%	0,293%	0,48%	0,005%
C11 C5 C6	1,13%	1,872%	0,87%	8,45%
C4 C5 C19	0,66%	1,02%	0,41%	0,67%
C4 C5 C6	2,24%	2,483%	4,61%	8,82%
C19 C5 C6	0%	0%	0%	0%
C11 C19 C12	1,2%	0,831%	0,06%	53,75%
C11 C19 C5	0,82%	0,079%	0,61%	46,63%
C11 C19 C6	1,47%	2,591%	0,67%	47,92%
C12 C19 C5	0,42%	1,236%	0,67%	11,48%
C12 C19 C6	0,89%	0,531%	0,98%	10,88%
C5 C19 C6	0%	0%	0%	0%
C5 C6 C19	0%	0%	0%	0%
C5 C6 C7	3,1%9	3,110%	3,72%	10,42%
C5 C6 C14	1,51%	1,322%	2,86%	2,94%
C19 C6 C7	0,19%	0,795%	0,23%	7,75%
C19 C6 C14	0,29%	2,177%	0,07%	6,14%
C7 C6 C14	1,49%	0,492%	0,83%	6,03%
C6 C7 C8	0,91%	0,244%	0,08%	7,62%
C9 C8 C7	2,19%	2,251%	2,21%	11,54%
C2 C3 C4	1,93%	2,808%	1,02%	2,54%
La moyenne du pourcentage d'erreur	1,0897%	1,08253%	1,32245%	8,86717%

Tableau 5b. Le pourcentage d'erreur des angles de liaison P₂

Les angles	Méthodes Semi-empirique			
	AM 1	PM 6	PM 3	CNDO
C10 C9 C8	0,448%	0,409%	0,183%	1,325%
C9 C10 C13	0,329%	0,405%	0,284%	0,198%
C9 C10 C12	0%	0%	0%	0%
C9 C10 C11	0,493%	0,132%	1,558%	0,856%
C13 C10 C12	0,009%	0,161%	0,945%	3,853%
C13 C10 C11	0,278%	0,509%	0,796%	4,363%
C12 C10 C11	0,059%	0,372%	0,285%	1,719%
C2 C1 C11	0%	0%	0%	0%
C1 C2 C15	1,202%	1,147%	1,881%	2,743%
C1 C2 C3	0%	0%	0%	0%
C15 C2 C3	2,112%	1,787%	3,213%	12,878%
C10 C11 C1	1,284%	1,860%	2,782%	6,698%
C10 C11 C5	0,970%	1,654%	3,258%	20,134%
C1 C11 C5	2,746%	2,437%	1,858%	13,684%
C5 C4 C3	3,007%	3,138%	9,082%	15,78%
C11 C5 C4	1,163%	0,904%	1,679%	4,837%
C11 C5 C19	0%	0%	0%	0%
C11 C5 C6	0,695%	0,364%	2,304%	4,507%
C4 C5 C19	0,402%	1,335%	3,948%	1,079%
C4 C5 C6	2,512%	2,968%	0,572%	4,111%
C19 C5 C6	0,116%	0,292%	0,187%	2,187%
C1 C19 C12	1,122%	1,400%	3,28%	3,003%
C1 C19 C5	1,515%	1,323%	1,364%	7,119%
C1 C19 C6	0,375%	0,179%	1,823%	1,399%
C12 C19 C5	1,231%	1,409%	2%	0,436%
C12 C19 C6	0,979%	1,311%	4,816%	1,388%
C5 C19 C6	0,404%	0,366%	1,307%	3,065%
C5 C6 C19	2,563%	2,333%	7,232%	4,649%
C5 C6 C7	2,691%	2,568%	2,827%	4,661%
C5 C6 C14	0,755%	0,984%	0,063%	0,536%
C19 C6 C7	0,009%	0,306%	0,713%	1,163%
C19 C6 C14	0%	0%	0%	0%
C7 C6 C14	1,681%	1,723%	2,338%	0,753%
C6 C7 C8	0,445%	0,409%	0,183%	1,325%
C9 C8 C7	0,329%	0,405%	0,284%	0,198%
C2 C3 C4	0%	0%	0%	0%
La moyenne du pourcentage d'erreur	0,9442%	1,0239%	1,8963%	3,9128%

Tableau 5c. Le pourcentage d'erreur des angles de liaison P_3

Les angles	Méthodes Semi-empirique		
	AM 1	PM 6	PM 3
C10 C9 C8	0,3 %	0,46%	1,101%
C9 C10 C13	0,43%	0,563%	0,753%
C9 C10 C12	0%	0%	0%
C9 C10 C11	0,55%	0,317%	1,159%
C13 C10 C12	0,01%	0,135%	2,117%
C13 C10 C11	0,22%	0,846%	0,097%
C12 C10 C11	0,3%	1,37%	0,969%
C2 C1 C11	0%	0%	0%
C1 C2 C15	3,02%	3,355%	1,696%
C1 C2 C3	0%	0%	0%
C15 C2 C3	4,73%	5,044%	3,41%
C10 C11 C1	2,21%	3,73%	3,06%
C10 C11 C5	1,95%	1,95%	4,24%
C1 C11 C5	5,94%	6,377%	1,48%
C5 C4 C3	6,22%	5,96%	9,46%
C11 C5 C4	3,26%	3,09%	0,97%
C11 C5 C19	0%	0%	0%
C11 C5 C6	1,97%	0,87%	0,244%
C4 C5 C19	0,98%	1,45%	2,873%
C4 C5 C6	4,86%	5,67%	0,57%
C19 C5 C6	0,68%	0,66%	1,304%
C1 C19 C12	2,74%	2,99%	3,57%
C1 C19 C5	2,6%	2,99%	0,324%
C1 C19 C6	2,07%	0,91%	0,567%
C12 C19 C5	0%	0%	0%
C12 C19 C6	0%	0%	0%
C5 C19 C6	2,64%	3,06%	2,115%
C5 C6 C19	1,03%	1,29%	4,48%
C5 C6 C7	0,26%	0,06%	0,53%
C5 C6 C14	4,06%	3,49%	6,31%
C19 C6 C7	6,16%	6,03%	3,22%
C19 C6 C14	2,55%	3,02%	1,23%
C7 C6 C14	0,53%	1,21%	0,15%
C6 C7 C8	0%	0%	0%
C9 C8 C7	2,36%	2,75%	0,72%
C2 C3 C4	0,3%	0,46%	1,101%
La moyenne du pourcentage d'erreur	1,8465%	1,9899%	1,6776%

5 CONCLUSION

Dans ce travail, nous avons étudié les performances des méthodes semi-empiriques AM1, PM3, PM6 et CNDO à reproduire les distances inter-atomiques et angles de liaisons des composés **P1** ((1*S*, 3*R*, 8*R*)-2,2-dichloro-3,7,7,10-tétraméthyl-tricyclo[6,4,0,0^{1,3}]dodec-9-ène), **P2** (1*S*, 3*R*, 8*R*, 9*S*, 11*R*)-2,2,10,10-tétrachloro-3,7,7,11-tétraméthyltetracyclo[6,5,0,01.2,0^{9,11}6]tridecane) et **P3** (1*S*, 3*R*, 8*R*, 9*S*, 11*R*)-2,2,10,10-tétrabromo-3,7,7,11-tétraméthyltetracyclo[6,5,0,01.2,0^{9,11}6]tridecane) les résultats calculés sont en bon accord avec les données expérimentales.

La méthode PM6 qui possède un facteur très grand alors cette méthode la plus précise pour calculés les longueurs de liaisons, par contre la méthode la plus précise pour optimiser les angles de liaisons c'est la méthode AM1 car elle possède un facteur de correction le plus grand.

REFERENCES

- [1] M. Plattier, P. Teisseire, *Recherches*, 1974, 19, 131
- [2] E. Lassaba, H. Eljamili, A. Chekroun, A. Benharref, A. Chiaroni, C. Riche et J-P. Lavergne Synthetic communications, (1998), 28(4), 2641-2651.
- [3] H. Eljamili, A. Auhmani, M. Dakir, E. Lassaba, A. Be,harref, M. Pierrot, A. Chiaroni, C. Riche, *Tetrahedron Letters* 2002 43 6645-6648
- [4] A.Auhmani, E.Kossareva, E; Lassaba, M. Réglier, M. Pierrot et A. Benharref, *Acta Crystallographica Section C*, (1999), (55), 0114.
- [5] A. Chekron, A. jarid, A. Benharref et A. Boutalib, *J. Org. Chem.*, (2000), 65, 4431-4434.
- [6] A. Chekroun, A. jarid, A. Benharref et A. Boutalib, *Journal of Molecular structure (Techoem)*, (2002), 588, 201-210.
- [7] M. J. Frisch, G. W. Trucks, H. B. Schlegel, G. E. Scuseria, M. A. Robb, J. R. Cheeseman, G. Scalmani, V. Barone, B. Mennucci, G. A. Petersson, H. Nakatsuji, M. Caricato, X. Li, H. P. Hratchian, A. F. Izmaylov, J. Bloino, G. Zheng, J. L. Sonnenberg, M. Hada, M. Ehara, K. Toyota, R. Fukuda, J. Hasegawa, M. Ishida, T. Nakajima, Y. Honda, O. Kitao, H. Nakai, T. Vreven, J. A. Montgomery, Jr., J. E. Peralta, F. Ogliaro, M. Bearpark, J. J. Heyd, E. Brothers, K. N. Kudin, V. N. Staroverov, R. Kobayashi, J. Normand, K. Raghavachari, A. Rendell, J. C. Burant, S. S. Iyengar, J. Tomasi, M. Cossi, N. Rega, J. M. Millam, M. Klene, J. E. Knox, J. B. Cross, V. Bakken, C. Adamo, J. Jaramillo, R. Gomperts, R. E. Stratmann, O. Yazyev, A. J. Austin, R. Cammi, C. Pomelli, J. W. Ochterski, R. L. Martin, K. Morokuma, V. G. Zakrzewski, G. A. Voth, P. Salvador, J. J. Dannenberg, S. Dapprich, A. D. Daniels, O. Farkas, J. B. Foresman, J. V. Ortiz, J. Cioslowski, and D. J. Fox, *Gaussian, Inc., Wallingford CT*, 2009.